

## ВЗАИМОДЕЙСТВИЕ ДВУХ ВОДОНОСНЫХ ГОРИЗОНТОВ, РАЗДЕЛЕННЫХ СЛАБОПРОНИЦАЕМОЙ ПРОСЛОЙКОЙ

В. А. Васильев (Ташкент)

Рассматривается осесимметричная неустановившаяся фильтрация в слоистом водосносном комплексе, состоящем из двух хорошо проницаемых пластов, разделенных слабопроницаемым прослоем. Верхний пласт имеет слабопроницаемую кровлю (покровный слой), содержащий зеркало грунтовых вод, а нижний — подстилается водупором (фигура). Режим фильтрации — всюду упругий. Напорно-безнапорный случай не рассматривается.

В работах [1-5] аналогичная задача рассматривается либо при условии, что напор в одном пласте остается неизменным, при заборе воды из другого, либо не учитывается проницаемость кровли верхнего пласта, либо предполагается, что фильтрация через прослойку подчиняется «жесткому» режиму. В. М. Шестаков [6] рассматривает эту задачу, считая, что кровля верхнего пласта непроницаема, и для случая, когда оба пласта имеют одинаковую проводимость, получает приближенное решение.

### Обозначение

$r, z$ — радиальная и вертикальная координаты; $h$ — напор, отсчитываемый от кровли верхнего пласта; $h_0$ — напор в начальный момент; $k$ — коэффициент фильтрации; $m$ — мощность пластов; $\langle m_1 \rangle$ — средняя мощность покровного слоя;	$T$ — фильтрационная проводимость; $\mu^0$ — коэффициент упругой водоотдачи; $\mu_1$ — коэффициент водоотдачи покровного слоя; $a$ — коэффициент пьезопроводности; $\alpha_1, \alpha_3$ — коэффициенты перетекания через покровный слой и прослойку;
-----------------------------------------------------------------------------------------------------------------------------------------------------------------------------------------------------------------------------------------------------------------------	------------------------------------------------------------------------------------------------------------------------------------------------------------------------------------------------------------------------------------------------------------------

$$T = km, \quad a = T / \mu^0, \quad \alpha_1 = k_1 / \langle m_1 \rangle, \quad \alpha_3 = k_3 / m_3$$

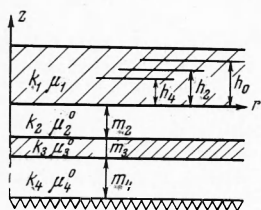
Смысл цифровых индексов (внизу) ясен из фигуры.

1. Линейные дифференциальные уравнения задачи, полученные в предположении, что вертикальная составляющая скорости фильтрации в пределах покровного слоя не зависит от координаты  $z$ , имеют вид

$$\begin{aligned} \mu_1 \frac{\partial h_1}{\partial t} &= \alpha_1 (h_2 - h_1), & \mu_2^0 \frac{\partial h_2}{\partial t} &= T_2 \Delta h_2 - k_3 \left[ \frac{\partial h_3}{\partial z} \right]_{z=-m_2} - \alpha_1 (h_1 - h_2) \\ \mu_3 \frac{\partial h_3}{\partial t} &= T_3 \frac{\partial^2 h_3}{\partial z^2}, & \mu_4^0 \frac{\partial h_4}{\partial t} &= T_4 \Delta h_4 + k_3 \left[ \frac{\partial h_3}{\partial z} \right]_{z=-m_2-m_3}, \quad \Delta = \frac{1}{r} \frac{\partial}{\partial r} \left( r \frac{\partial}{\partial r} \right) \end{aligned} \quad (1.1)$$

Третье уравнение этой системы, описывающее движение в прослойке при упругом режиме, дано М. С. Хантушем [5].

Предполагается, что в начальный момент времени движение отсутствует, а совершенная скважина, забирающая воду из нижнего пласта, имеет нулевой радиус. В этом случае начальные и граничные условия задачи будут



$$h_1(r, 0) = h_2(r, 0) = h_3(r, z, 0) = h_4(r, 0) = h_0 \quad (1.2)$$

$$h_3(r, -m_2, t) = h_2(r, t)$$

$$h_3(r, -m_2 - m_3, t) = h_4(r, t)$$

$$\lim_{r \rightarrow 0} 2\pi T_4 r \frac{\partial h_4}{\partial r} = -Q, \quad \lim_{r \rightarrow 0} 2\pi T_2 r \frac{\partial h_2}{\partial r} = 0 \quad (1.3)$$

Здесь  $Q$  — постоянный дебит скважины. Применяя к системе (1.1) интегральное преобразование Лапласа, получим для изображений

$$S_1 = S_2 \frac{\alpha_1}{p\mu_1 + \alpha_1} \quad (S \doteq h_0 - h) \quad (1.4)$$

$$S_3 = \frac{S_2 \operatorname{sh} [\sigma(z + m_2 + m_3)] - S_4 \operatorname{sh} [\sigma(z + m_2)]}{\operatorname{sh} (\sigma m_3)} \quad \left( \sigma = \left( \frac{p}{a_3} \right)^{1/2} \right) \quad (1.5)$$

$$T_2 \Delta S_2 - \omega_2^2 S_2 + S_4 \alpha_3 \frac{\sigma m_3}{\operatorname{sh} (\sigma m_3)} = 0, \quad \omega_2^2 = p\mu_2^0 + \alpha_1 \frac{p\mu_1}{p\mu_1 + \alpha_1} + \alpha_3 \sigma m_3 \operatorname{cth} (\sigma m_3)$$

$$T_4 \Delta S_4 - \omega_4^2 S_4 + S_2 \alpha_3 \frac{\sigma m_3}{\operatorname{sh} (\sigma m_3)} = 0, \quad \omega_4^2 = p\mu_4^0 + \alpha_3 \sigma m_3 \operatorname{cth} (\sigma m_3) \quad (1.6)$$

Здесь  $S$  — изображение понижений напора по Лапласу. Решение системы уравнений (1.6) имеет очень сложный вид, поэтому ниже рассматриваются приближенные решения, более удобные для расчетов.

2. Пусть время  $t$ , в течение которого производится забор воды из пласта, не меньше, чем наибольшее значение чисел  $10 \mu_1 / \alpha_1$ ,  $10 \mu_3^\circ / \alpha_3$ . Учитывая, что в этом случае в области изображений значения параметра  $p$  должны быть не больше  $0.1 \alpha_1 / \mu_1^\circ$  и  $0.1 \alpha_3 / \mu_3^\circ$ , можно положить приближенно

$$\sigma m_3 \operatorname{cth}(\sigma m_3) = 1 + \frac{p \mu_3^\circ}{3 \alpha_3} \frac{\sigma \mu_3}{\operatorname{sh}(\sigma m_3)} = 1, \quad \frac{p \mu_1}{p \mu_1 + \alpha_1} = p \frac{\mu_1}{\alpha_1}, \quad \frac{\alpha_1}{p \mu_1 + \alpha_1} = 1 \quad (2.1)$$

Уравнения (1.4) и (1.6) при этом примут вид

$$S_1 = S_2 \quad (2.2)$$

$$\begin{aligned} T_2 \Delta S_2 - w_2^2 S_2 + \alpha_3 S_4 &= 0, & \omega_2^2 &= p \mu_2^* + \alpha_3 \\ T_4 \Delta S_4 - \omega_4^2 S_4 + \alpha_3 S_2 &= 0, & \omega_4^2 &= p \mu_4^* + \alpha_3 \end{aligned} \quad (2.3)$$

$$\mu_2^* = \mu_1^\circ + \mu_2^\circ + 1/3 \mu_3^\circ, \quad \mu_4^* = \mu_4^\circ + 1/3 \mu_3^\circ \quad (2.4)$$

Решение системы (2.3), ограниченное при  $r \rightarrow \infty$ , разыскивается в виде

$$S_2 = ACK_0(r\beta_1) + DBK_0(r\beta_2), \quad S_4 = CK_0(r\beta_1) + DK_0(r\beta_2) \quad (2.5)$$

Здесь  $K_0(r\beta)$  — модифицированная функция Бесселя второго рода нулевого порядка

$$\begin{aligned} A &= 1 + \frac{p \mu_4^* - T_4 \beta_1^2}{\alpha_3}, \quad \beta^2 = \frac{1}{2T_4} \left\{ p \left( \mu_2^* + \mu_4^* \frac{T_2}{T_4} \right) + \alpha_3 \left( 1 + \frac{T_2}{T_4} \right) + \sqrt{M} \right\} \\ B &= \frac{1}{1 + (p \mu_2^* - T_2 \beta_2^2) / \alpha_3}, \quad M = 4\alpha_3^2 \frac{T_2}{T_4} + \left\{ p \left( \mu_2^* - \mu_4^* \frac{T_2}{T_4} \right) + \alpha_3 \left( 1 - \frac{T_2}{T_4} \right) \right\}^2 \end{aligned} \quad (2.6)$$

Постоянные  $C$  и  $D$  определяются условиями (1.3). Таким образом, решение задачи в области изображений для больших значений времени откачки  $t$  имеет вид

$$\begin{aligned} S_2(r, p) &= \frac{Q}{2\pi T_4 p} \frac{AB}{A-B} \{K_0(r\beta_2) - K_0(r\beta_1)\}, \\ S_4(r, p) &= \frac{Q}{2\pi T_4 p} \frac{1}{A-B} \{AK_0(r\beta_2) - BK_0(r\beta_1)\}, \quad S_1(r, p) = S_2(r, p) \end{aligned} \quad (2.7)$$

Рассмотрим примеры частных схем движения, когда оригиналы функций определяются через табулированные функции.

1<sup>0</sup>. Ввиду большой неоднородности пород, слагающих водоносные толщи, точность гидрогеологических параметров мала. Предполагая, что проводимости  $T_2$  и  $T_4$ , а также коэффициенты упругой водоотдачи  $\mu_2^\circ$  и  $\mu_4^\circ$  имеют одинаковый порядок, полагая  $T_2 = T_4 = T$ ,  $\mu_2^\circ = \mu_4^\circ = \mu^\circ$ , из (2.7) получим

$$\beta^2 = (1/T) \{p(\mu^\circ + 1/2 \mu_1 + 1/3 \mu_3^\circ) + \alpha_3 \pm \alpha_3 \sqrt{1 + p^2 \mu_1^2 / 4\alpha_3^2}\}$$

Так как параметр  $p$  мал, то приближенно можно положить

$$\begin{aligned} \beta_1^2 &= \frac{p}{a} + 2 \frac{\alpha_3}{T}, \quad \beta_2^2 = \frac{p}{a}, \quad a = \frac{T}{\mu^\circ + 1/2 \mu_1 + 1/3 \mu_3^\circ} \\ \frac{A}{A-B} &= \frac{1}{2}, \quad \frac{AB}{A-B} = \frac{1}{2}, \quad \frac{B}{A-B} = -\frac{1}{2} \end{aligned} \quad (2.8)$$

и (2.7) принимает вид

$$S_2 = \frac{Q}{4\pi T p} \{K_0(r\beta_2) - K_0(r\beta_1)\}, \quad S_4 = \frac{Q}{4\pi T p} \{K_0(r\beta_2) + K_0(r\beta_1)\} \quad (2.9)$$

Пользуясь правилами операционного исчисления, находим оригиналы

$$\begin{aligned} p^{-1} K_0(r\beta_1) &\doteq 1/2 W(u, \delta), \quad p^{-1} K_0(r\beta_2) \doteq -1/2 \operatorname{Ei}(-u) \\ -\operatorname{Ei}(-u) &= \int_u^\infty e^{-\lambda} \frac{d\lambda}{\lambda}, \quad W(u, \delta) = \int_u^\infty \exp\left(-\lambda - \frac{\delta^2}{4\lambda}\right) \frac{d\lambda}{\lambda} \\ \left(u = \frac{r^2}{4at}, \quad \delta = r \left(\frac{2\alpha_3}{T}\right)^{1/2}\right) \end{aligned}$$

Функция  $W(u, \delta)$  табулирована М. С. Хантушем [5]. Пользуясь этими соотношениями, получаем

$$\begin{aligned} h_1 &= h_2, & h_2 &= h_0 - \frac{Q}{8\pi T} \{-\text{Ei}(-u) - W(u, \delta)\} \\ h_4 &= h_0 - \frac{Q}{8\pi T} \{-\text{Ei}(-u) + W(u, \delta)\} \end{aligned} \quad (2.10)$$

В частности, если кровлю верхнего водоносного горизонта считать непроницаемой, то соотношение для  $h_1$  отпадает. Полагая в (2.8)  $\mu_1 = 0$ , получим решение задачи, данное В. М. Шестаковым [6], найденное им путем замены уравнения для прослойки уравнением в конечных разностях. Однако у В. М. Шестакова в выражении коэффициента пьезопроводности  $a = T / (\mu^0 + \alpha\mu_3^0)$  вместо  $\alpha = 1/3$  указано  $\alpha = 1/2$ .

Для разности напоров верхнего и нижнего пластов

$$h_2(r, t) - h_4(r, t) = \frac{Q}{4\pi T} W(u, \delta)$$

имеет место предельное соотношение

$$[h_2(r, t) - h_4(r, t)]_{t \rightarrow \infty} = \frac{Q}{2\pi T} K_0(\delta) \quad (2.11)$$

Практически неустановившийся характер этой разности перестает сказываться для  $u < 0.10 \delta^2$ . Используя известное предельное соотношение

$$\lim_{p \rightarrow 0} pF(p) = f(\infty) \quad (F(p) \doteq f(t))$$

из (2.8) получаем, что формула (2.11) сохраняет вид и при различных значениях проводимостей пластов, если считать, что в общем случае

$$\delta = r \left( \alpha_3 \frac{T_2 + T_4}{T_2 T_4} \right)^{1/2} \quad (2.12)$$

2°. Предполагая, что забор воды производится из верхнего пласта и считая, что  $T_4$  значительно больше  $T_2$  (теоретически  $T_4 \rightarrow \infty$ ), получим схему, соответствующую случаю, когда нижний, более водообильный слой имеет постоянный, не зависящий от работы скважины напор  $h_4 = \text{const}$ . Полагая в (2.6) проводимость  $T_4 \rightarrow \infty$ , найдем

$$\beta_1^2 = \frac{F}{a} + \frac{\alpha_3}{T_2}, \quad \beta_2^2 = 0, \quad \frac{A}{A-B} = 1 \quad (2.13)$$

и, следовательно, решение задачи принимает вид

$$h_1 = h_2, \quad h_2 = h_0 - \frac{Q}{4\pi T_2} W(u, \delta) \quad \left( u = \frac{r^2}{4at}, \quad a = \frac{T_2}{\mu_2^*}, \quad \delta = r \left( \frac{\alpha_3}{T_2} \right)^{1/2} \right) \quad (2.14)$$

Для установившегося движения

$$h_2(r) = h_0 - \frac{Q}{2\pi T_2} K_0(\delta) \quad (2.15)$$

4. Если время откачки из скважины мало, так что  $t$  не превосходит наименьшее из чисел  $0.1 \mu_3^0 / \alpha_3$ ,  $0.1 \mu_1 / \alpha_1$  и соответствует значению параметра  $p$ , не меньшему наибольшему из чисел  $10 \alpha_3 / \mu_3^0$ ,  $10 \alpha_1 / \mu_1$ , то приближенно

$$\frac{\sigma m_3}{\text{sh}(\sigma m_3)} = 0, \quad \frac{p\mu_1}{p\mu_1 + \alpha_1} = 1, \quad \frac{\alpha_1}{p\mu_1 + \alpha_1} = 0, \quad \alpha_1 = 0 \quad (3.1)$$

Для этого случая уравнения (1.4) и (1.6) записываются в виде

$$\begin{aligned} S_1 &= 0, & \Delta S_2 - \omega_2^2 S_2 &= 0, & \omega_2^2 &= T_2^{-1} (p\mu_2^0 + k_3 \sqrt{p/a_3}) \\ \Delta S_4 - \omega_4^2 S_4 &= 0, & \omega_4^2 &= T_4^{-1} (p\mu_4^0 + k_3 \sqrt{p/a_3}) \end{aligned} \quad (3.2)$$

Решение этой системы, ограниченное при  $r \rightarrow \infty$  и удовлетворяющее условиям (1.2) и (1.3), получается следующим:

$$S_1 = S_2 = 0, \quad S_4 = \frac{Q}{2\pi T_2 p} K_0(r\omega_4) \quad (3.3)$$

Заметим, что

$$\begin{aligned} \frac{1}{p} K_0(r\omega_4) &\doteq \frac{1}{2} \int_0^\infty e^{-\lambda} \text{erfc} \left( \frac{\nu \sqrt{u}}{\sqrt{\lambda(\lambda-u)}} \right) \frac{d\lambda}{\lambda} = \frac{1}{2} H(u, \nu) \\ \left( u = \frac{r^2}{4a_4 t}, \quad a_4 &= \frac{T_4}{\mu_4^0}, \quad \nu = \frac{rk_3}{4T_4} \left( \frac{a_4}{a_3} \right)^{1/2} \right) \end{aligned} \quad (3.4)$$

Функция  $H(u, v)$  табулирована М. С. Хантушем [5]. Поэтому решение задачи для малых значений времени  $t$  имеет вид

$$h_1 = h_2 = h_0, \quad h_4(r, t) = h_0 - \frac{Q}{4\pi T_4} H(u, v) \quad (3.5)$$

Полученное решение указывает на важность учета упругого режима фильтрации как в основных водоносных горизонтах, так и в слабопроницаемой прослойке. Подпитывание через слабопроницаемый слой при учете упругого режима фильтрации в нем значительно уменьшает понижение уровня в пласте, из которого производится откачка, так как передача напоров от одного горизонта к другому происходит с запаздыванием во времени. Отсюда следует, что если откачка из скважины производится с целью выявления взаимодействия пластов и определения гидрогеологических параметров, то время откачки должно быть не меньше того, которое получается по оценке (3.1).

Например, положив  $k_1 = 0.1$  м/сутки,  $k_3 = 10^{-4}$  м/сутки,  $\langle m_1 \rangle = 100$  м,  $m_3 = 10$  м,  $\mu_1 = 0.1$ ,  $\mu_3 = 10^{-4}$ , по оценкам (3.1) получаем, что снижения напоров можно ожидать не раньше, чем через сутки непрерывной работы скважины.

Поступила 12 IX 1966

#### ЛИТЕРАТУРА

1. П о л у б а р и н о в а - К о ч и н а П. Я. Теория движения грунтовых вод. Гостехиздат, 1952.
2. Ч а р н ы й И. А. Фильтрация в пласте с непроницаемой кровлей и подошвой, разделенном слабопроницаемой перемычкой. Тр. Моск. нефт. ин-та, 1966, т. 33.
3. Б е г м а т о в В., Р ы б а к о в а С. Т. К взаимодействию водоносных пластов, разделенных слабопроницаемыми пластами. Изв. АН СССР, Механика, 1965, № 2.
4. Б о ч е в е р Ф. М., Г а р м о н о в И. В., Л е б е д е в А. В., Ш е с т а к о в В. М. Основы гидрогеологических расчетов. Изд. «Недра», 1965.
5. Х а н т у ш М. С. Новое в теории перетекания. Сб. «Вопросы гидрогеологических расчетов». Изд. «Мир», 1964.
6. Ш е с т а к о в В. М. О влиянии упругого режима фильтрации в отдельных слоях на взаимодействие водоносных горизонтов. Изв. высш. учебн. завед. Геология и разведка, 1963, № 10.

#### РЕШЕНИЕ ОДНОЙ ЗАДАЧИ ПРОСТРАНСТВЕННОЙ ФИЛЬТРАЦИИ МЕТОДОМ СТАТИСТИЧЕСКИХ ИСПЫТАНИЙ

В. А. Исякаев (Башкирская АССР, г. Октябрьский)

Основные задачи фильтрации жидкости при достаточно сложных граничных условиях часто решаются разностными методами [1]. В этом случае при малом шаге сетки приходится иметь дело с системой большого числа алгебраических уравнений, количество которых может доходить до  $10^{10}$ . При обычных методах решения систем (итераций, исключения неизвестных и т. д.) приходится находить все решения, что при большом количестве неизвестных и, как правило, медленной сходимости методов решения представляет большие трудности.

В задаче притока жидкости к опробователю пластов на кабеле достаточно знать значение давления в точках, расположенных в непосредственной близости к поверхности стока. Поэтому для решения данной задачи применен метод статистических испытаний (Монте-Карло), широко используемый для решения плоских задач фильтрации [2].

#### Обозначения

$p$ — давление;	$m$ — коэффициент пористости;
$t$ — время;	$k$ — проницаемость пористой среды;
$\kappa$ — коэффициент пьезопроводности;	$W$ — число шагов блуждающей частицы;
$H$ — мощность пласта;	$\mu$ — абсолютная вязкость жидкости;
$D$ — диаметр скважины;	$D(\xi)$ — статистическая оценка дисперсии;
$d$ — диаметр стока опробователя;	$m_k$ — число попаданий в сток на 100 испытаний;
$F$ — площадь стока;	$m_0$ — число попаданий в сток на 1000 испытаний;
$\beta$ — коэффициент сжимаемости жидкости;	$\varepsilon$ — абсолютная ошибка;
$\beta^\circ$ — коэффициент сжимаемости пористой среды;	$\delta$ — относительная ошибка.
$\beta^*$ — приведенный коэффициент сжимаемости;	